

I. Orlova, R. A. Frolkis, A. S. Gavrilish

я. Наряду с этим отмечались не утилизации энергии — АТФ, не которой в условиях данного недостатком субстрата реагирующим, по современным предположениям, коррелятивная связь между максимальной скоростью нарастания и титром антитела существует о значении обнаружения сократительных свойств электронномикроскопические отчетливые изменения контракции обусловить угнетение его сократительной функции иного (на 90 %) ограничения определенным комплексом изменений, сочетающихся в реакций миокардиального

ра

актомиозинов и миофибрill сердца особенностями.—Кардиология, 1979, прорвание АМФ, аденоцина и дефосфорилирование миокарда при экспериментальном инфаркте миокарда.—Известия АМН СССР, 1969, 57, № 2, с. 50—52. Раннене ограничения коронарного кровотока.—

кімії. Київ: Радянська школа, 1972, 1 with speed of muscle shortening.—

actomyosine triphosphatase activity Res. 1977, 11, p. 242—246. g myocardium. The myocardium failure of rise of intraventricular pressure in man.—Am. J. Cardiol., 1969, by paper electrophoresis.—J. Chro- d quantification of myocardial con- 47, N 2, p. 96—112.

Поступила в редакцию
25.III 1980 г.

A. S. Gavrilish

URAL AND METABOLIC TURBANCE IN CIRCULATION

structure and metabolism were of partially dosed 90 % restricted coronary artery. Irregular changes of the cardiac contractile inhibited aerobic oxidation and actomyosine triphosphatase activity. Changes in the contractile apparatus of anaerobic glycolysis and

ФИЗИОЛОГИЧЕСКИЙ ЖУРНАЛ

1980, т. XXVI, № 6

УДК 612.12—001.36—07:616.127—072.7

А. А. Мойбенко, В. Ф. Сагач, Г. И. Марченко,
Л. А. Грабовский, В. И. Коркач, С. Б. Французова,
И. Г. Бычеко, О. В. Шабловская

ХАРАКТЕРИСТИКА НАРУШЕНИЙ КАРДИОДИНАМИКИ И ЭНЕРГЕТИЧЕСКИХ ПРОЦЕССОВ В МИОКАРДЕ ПРИ ИНФАРКТОПОДОБНЫХ ПОВРЕЖДЕНИЯХ СЕРДЦА ИММУННОГО ГЕНЕЗА

В настоящее время все большее внимание исследователей привлекают иммунно-аллергические аспекты заболеваний сердца и, в частности, инфаркта миокарда и его осложнений [2, 3, 5, 8, 22, 28, 30]. О возможном включении иммунных механизмов в патогенез заболевания сердца свидетельствует ряд факторов, к числу которых следует отнести: появление в крови при повреждении миокарда противосердечных аутоантител и нарастание их титров в ходе заболевания [8, 22, 25], фиксация антител как на пораженных, так и на здоровых участках миокарда [1, 4, 10], цитотоксический эффект антител и сенсибилизованных лимфоцитов на миокардиальные клетки [20, 31]. Хотя прямой зависимости между титрами циркулирующих в крови аутоантител и тяжестью патологического процесса в сердце не установлено, тем не менее ряд авторов отмечают взаимосвязь между их появлением и некоторыми проявлениями заболевания и не исключают их роль как повреждающего фактора [8, 11, 22]. Одним из подходов к выяснению этого вопроса является моделирование иммунных повреждений сердца и исследование механизмов их развития [3, 19, 23].

Исходя из этих представлений, в отделе экспериментальной кардиологии разработана оригинальная модель направленного и преимущественного иммунного воздействия на сердце с помощью внутрикоронарного введения антикардиальной цитотоксической сыворотки. Возникающее при этом зональное повреждение сердечной мышцы сопровождается развитием сердечно-сосудистой недостаточности, которая по ряду критериев сходна с кардиогенным шоком [6, 13].

Целью настоящих комплексных исследований было получение сравнительных данных об изменениях деятельности сердца и энергетического обмена миокарда в динамике развития иммунного повреждения сердца и определение с помощью фармакологического воздействия на отдельные звенья патогенетической цепи некоторых возможных путей коррекции развивающихся нарушений.

Методика исследований

Эксперименты проведены на 47 беспородных собаках весом 15—22 кг под морфиново-хлоралозо-уретановым наркозом (0,0025; 0,07; 0,3 г/кг соответственно). Иммунное повреждение сердца воспроизводили внутрикоронарным введением 1—2 мл антикардиальной цитотоксической сыворотки (АКС), получаемой от кроликов, предварительно иммунизированных надосадочной фракцией гомогената сердца собаки. Титр используе-

мой АКС в реакции связывания комплемента составлял от 1:320 до 1:800. Детали метода иммунизации кроликов, получения АКС и воспроизведения повреждения сердца описаны ранее [13]. Эксперименты проводились на животных при сохранении естественного дыхания.

Поставлено шесть серий экспериментов. В I, II и III сериях (24 собаки) соответственно через 5 мин, 60 мин и 24 ч после внутрикоронарного введения АКС исследовали изменения кардиодинамики, гемодинамики и сократительной функции миокарда и в указанные сроки проводили забор материала (ткани сердца) для исследования изменений энергетического обмена в миокарде. В IV контрольной серии (7 собак) исследовали функциональные и биохимические показатели сердца после внутрикоронарного введения нормальной кроличьей сыворотки в тех же дозах. В V (6 собак) и VI (10 собак) сериях для коррекции наступающих сдвигов исследовали влияние на функциональные и биохимические показатели внутривенного введения инозина (25 мг/кг) и антигистаминного препарата — фенкарола (0,5 мг/кг). Пробы миокарда в V и VI сериях брали через час после воспроизведения иммунного повреждения сердца.

Во всех экспериментах проводили непрерывную регистрацию системного артериального давления (САД), частоты сердечных сокращений (ЧСС), давления в левом желудочке сердца (ДЛЖ) и скорости его изменения (dp/dt). Внутриполостное давление регистрировали посредством катетеризации левого желудочка через правую сонную артерию; применяемая в экспериментах катетерно-манометрическая система имела равномерную частотную характеристику до 30 Гц. О сократительной функции миокарда судили по изменениям скорости нарастания и снижения давления в левом желудочке и по индексам сократимости (ИС) миокарда ($dp/dt_{max}/pd$) и ($dp/dt_{max}/IIt$). Постоянная времени электронного дифференциатора составляла 2 мс. Расчет индексов сократимости миокарда производился как вручную, так и в автоматическом режиме с помощью специализированного вычислительного устройства [17] непрерывно в ходе исследований. Сердечный индекс (СИ) рассчитывали из показаний минутного объема, определяемого с помощью термодилатационного метода [7]. АКС вводили через специально изготовленный катетер непосредственно в кровоток огибающей или нисходящей ветви левой коронарной артерии. Участок миокарда левого желудочка сердца, снабжаемый кровью из этого сосуда, был обозначен как «пораженный» (при использовании нормальной кроличьей сыворотки — «условно пораженный»), а участок миокарда, не подвергающийся непосредственному действию сыворотки как «непораженный» или «интактный». В различные сроки (5,60 мин и 24 ч) после введения АКС в названных участках миокарда определяли содержание: адениловых нуклеотидов (АТФ, АДФ, АМФ), неорганического фосфора, гликогена, активность цитохром-С-оксидазы, никотинамидных коферментов (НАД, НАДН₂, НАДФ, НАДФН₂) с помощью методов, описанных ранее [12, 15].

Результаты опытов обработаны методами вариационной статистики.

Результаты исследований и их обсуждение

Как следует из табл. 1 и рис. 1, внутрикоронарное введение АКС сопровождалось комплексом нарушений гемодинамики, кардиодинамики и сократительной активности миокарда, типичных для очагового иммунного повреждения сердца [13, 14]. Характерно резкое снижение системного артериального давления (САД), сердечного и систолического индексов, уменьшение показателей сократимости миокарда (dp/dt_{max} и индексов сократимости миокарда). Вместе с тем такой показатель сердечной функции, как конечно-диастолическое давление в левом желудочке (КДДЛЖ) не только не увеличивался в начальной стадии иммунного повреждения сердца (в течение первого часа), но даже несколько уменьшался. Это совпадает с ранее полученными данными и свидетельствует в пользу представления о существенной роли уменьшения венозного возврата в формировании изменений кардиодинамики при иммунном повреждении сердца [16]. В связи с этим обстоятельством, несмотря на ослабление сократительной активности в поврежденных участках миокарда левого желудочка, в ранней стадии кардиоцитотоксического шока не возникает признаков застойной недостаточности сердца. Настоящее исследование показало, что такого рода признаки — повышение КДДЛЖ появляются в ходе развития иммунного повреждения сердца, через сутки после внутрикоронарного введения

АКС. В сочетании с тенденцией миокарда (табл. 1) повышением сократительной функции выброса через сутки в реальности значительное снижение 34 % против контрольного иммунной травмы были вялые клетки, у двух из них была

О значительных нарушениях 24 ч после введения АКС за введением АКС появлялись патологические зубцы QS (случаев), дискордантные пропорции желудочкового комплекса и сегмента ST (71,2 чаев). В динамике реакции растала сумма величин от

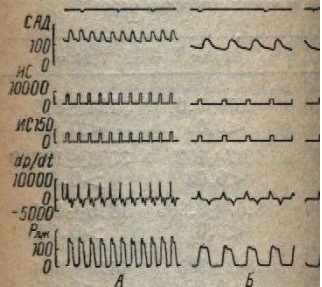


Рис. 1. Влияние внутрикоронарной сыворотки на показатели кардиодинамики. Сверху вниз: отметка времени, — 1 с, ванный индекс сократимости dp/dt , изменения давления в левом желудочке, автоматизированный метод расчета через 5 мин

Рис. 2. Изменения ЭКГ в динамике инфарктоподобных изменений

ний от изолинии сегмента 2,14 ± 0,22 мВ через 2 ч соответственно уменьшала явление отмеченных признаков. Видимо, это было связано с нарушением взаимосинхронизации возбуждений и раздвоения зубцов признаками блокады левой ножки, что привело к резко выраженным нарушениям желудочковые экстрасистолы.

Внутрикоронарное введение 1—2 мл (7 экспериментов) АКС привело к изменениям кардиодинамики миокарда и ЭКГ.

оставляя от 1:320 до 1:800. Детали и воспроизведения повреждения сердца на животных при сохранении естественности

, II и III сериях (24 собаки) соответствовали коронарного введения АКС исследования сократительной функции миокарда и (ткани сердца) для исследования из V контрольной серии (7 собак) исследователи сердца после внутрикоронарного же дозах. В V (6 собак) и VI (10 собак) исследовали влияние на функционирование инозина (25 мг/кг) и антикоагулянта. Пробы миокарда в V и VI сериях повреждения сердца.

пную регистрацию системного артериального давления (ЧСС), давления в левом желудочке через правую сонную артерию. Внутриполостное давление в желудочке через правую сонную артерию. Манометрическая система имела равномерную сократительную функцию миокарда изменения давления в левом желудочке ($dp/dt_{max}/pd$) и ($dp/dt_{max}/\Pi t$). Постоянством 2 мс. Расчет индексов сократимости и в автоматическом режиме с помощью [17] непрерывно в ходе исследования показаний минутного объема, определение [7]. АКС вводили через специальную «огибающей» или «искрывающей» ветвь левого желудочка сердца, снабженной «зажимами» (при использовании портального), а участок миокарда, не подвергнутый как «непораженный» или «инфильтрированный» АКС в названных участках слоистых (АТФ, АДФ, АМФ), неорганических оксидаз, никотинамидных компонентов методом, описанных ранее

акционной статистики.

их обсуждение

Внутрикоронарное введение АКС гемодинамики, кардиодинамики, типичных для очагового повреждения сердца. Характерно резкое снижение сократимости миокарда (рис. 1). Сердечного и систолической сократимости миокарда. Вместе с тем такая по-диастолическое давление в левом желудочке увеличивалась в начальной фазе (в течение первого часа), но с ранней полученным давлением о существенной роли изменения кардиодинамики [16]. В связи с этим обнаруживалась активность в желудочке, в ранней стадии признаков застойной недостаточности показало, что такого рода в ходе развития иммунно-внутрикоронарного введения

Характеристика нарушений кардиодинамики

АКС. В сочетании с тенденцией к снижению показателей сократимости миокарда (табл. 1) повышение КДДЛЖ свидетельствовало об ухудшении сократительной функции сердца. Полное восстановление сердечно-сосудистой функции через 24 ч противоречит этому положению, если учесть значительное снижение в этот период САД и особенно ОПС (на 34 % против контрольного уровня). Все животные через 14 ч после иммунной травмы были вялыми, с трудом поднимались по лестничной клетке, у двух из них была пастозность конечностей.

О значительных нарушениях функции сердца у животных через 24 ч после введения АКС свидетельствовали и изменения ЭКГ. Вслед за введением АКС появлялись патологические зубцы QS (100 % случаев), дискордантность направлений желудочкового комплекса и сегмента ST (71,2 % случаев). В динамике реакции возрастала сумма величин отклоне-

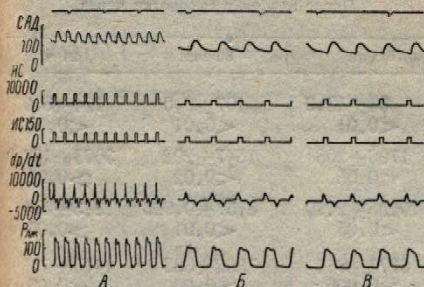


Рис. 1. Влияние внутрикоронарного введения антикардиальной сыворотки на показатели кардиодинамики и сократительной функции миокарда.

Сверху вниз: отметка времени — 1 с, системное артериальное давление в мм рт. ст., модифицированный индекс сократимости $dp/dt_{max}/\Pi t$, с-2, индекс сократимости $dp/dt_{max}/pd$, с-1, скорость изменения давления в левом желудочке в мм рт. ст./с, давление в левом желудочке в мм рт. ст. Автоматизированный метод расчета индексов сократимости миокарда. А — исходные данные, Б — через 5 мин и В — через 30 мин после воздействия.

Рис. 2. Изменения ЭКГ в динамике развития иммунного повреждения сердца. Очаг инфарктоподобных изменений в задней стенке левого желудочка сердца.

ний от изолинии сегмента ST с $0,98 \pm 0,1$ мВ в исходном состоянии $2,14 \pm 0,22$ мВ через 24 ч ($p < 0,01$), сумма высот зубцов R соответственно уменьшилась с $12,24 \pm 2,0$ до $8,0 \pm 1,5$ мВ ($p < 0,05$). Появление отмеченных признаков очаговых поражений миокарда сопровождалось нарушением внутрижелудочковой проводимости и процессов синхронизации возбуждения в миокарде: к исходу суток расщепления и раздвоения зубцов принимали стойкий характер, наблюдались признаки блокады левой ножки пучка Гиса. Весьма характерными были резко выраженные нарушения ритма: множественные политопные желудочковые экстрасистолы (рис. 2).

Внутрикоронарное введение нормальной кроличьей сыворотки в дозах 1—2 мл (7 экспериментов) не сопровождалось существенными изменениями кардиодинамики, гемодинамики, сократительной активности миокарда и ЭКГ.

В начальной стадии развития иммунного повреждения сердца (первые 5 мин) изменения в содержании фосфатов, богатых энергией были невелики.

При сопоставлении содержания компонентов адениловой системы в различных участках сердца оказалось, что в первые 5 мин после введения АКС в пораженном участке миокарда левого желудочка по сравнению с непораженным (интактным) наблюдается некоторое снижение суммы адениловых нуклеотидов (табл. 2). Содержание никотинамидных коферментов существенно не изменилось, активность цитохромоксидазы в пораженном участке была несколько снижена по сравнению с непораженным — контрольным ($0,754 \pm 0,12$ и $1,03 \pm 0,113$ индофенольных единиц на мг белка в мин соответственно), несколько ниже было содержание гликогена в пораженном участке миокарда. Значительно более резкими были нарушения энергетического обмена через 60 мин и особенно через 24 ч после иммунной травмы сердца.

Таблица I
Изменение показателей кардио- и гемодинамики у собак после внутрикоронарного введения антикардиальной сыворотки ($M \pm m$)

Исследуемые показатели	Исходные данные	После введения сыворотки через		
		5 мин	60 мин	24 ч
САД мм рт. ст.	$147 \pm 8,4$	$84 \pm 13,0$ $<0,01$	$107 \pm 9,0$ $<0,01$	$124 \pm 8,0$ $<0,01$
СИ мл/м ² ·мин	2546 ± 270	1700 ± 206 $<0,05$	1547 ± 202 $<0,02$	$3093 \pm 137,0$ $>0,05$
Сист. индекс мл/м ²	$16,9 \pm 2,1$	$10,55 \pm 2,10$ $<0,05$	$8,57 \pm 0,996$ $<0,01$	$18,5 \pm 1,4$ $>0,05$
ОПС дин.с·см ⁻⁵	6681 ± 405	6271 ± 881 $>0,005$	7362 ± 383 $>0,05$	4415 ± 654 $<0,05$
РЛЖ мм рт. ст.	$156,7 \pm 12,6$	$87,8 \pm 12,4$ $<0,01$	$107,3 \pm 8,1$ $<0,01$	$136 \pm 7,4$ $>0,05$
КДД мм рт. ст.	$5,26 \pm 2,57$	$2,06 \pm 1,34$ $>0,05$	$1,42 \pm 0,84$ $>0,05$	$9,1 \pm 1,3$ $>0,05$
dp/dt_{\max} мм рт. ст./с	4007 ± 633	2203 ± 313 $<0,05$	2923 ± 436 $<0,05$	3861 ± 394 $>0,05$
dp/dt_{\min} мм рт. ст./с	3589 ± 730	2049 ± 503 $>0,05$	2845 ± 705 $>0,05$	4617 ± 846 $>0,05$
$\frac{dp/dt_{\max}}{Pd} \text{ c}^{-1}$	$56,38 \pm 5,10$	$51,06 \pm 6,1$ $>0,05$	$49,75 \pm 5,15$ $>0,05$	$46,3 \pm 4,2$ $>0,05$
$\frac{dp/dt_{\max}}{Pt} \text{ c}^{-2}$	5445 ± 653	3653 ± 441 $<0,05$	3748 ± 738 $>0,05$	4832 ± 1899 $>0,05$
ЧСС сокр/мин	$164 \pm 16,0$	$169 \pm 16,1$ $>0,05$	$171 \pm 12,4$ $>0,05$	169 ± 18 $>0,05$

В пораженном участке левого желудочка по сравнению с непораженным через 1 ч наблюдается снижение всех исследуемых показателей. Значительно снижается уровень компонентов адениловой системы: АТФ — на 36,7 %, АДФ — на 41,1 %, АМФ — на 35,5 %, их суммы — на 37,2 %; количества гликогена — на 37,1 %, окисленных форм нико-

Характеристика нарушений кардиодинамики

тиамидных коферментов — восстановленных форм этих

В то же время в непораженном желудочке содержание венено не изменяется. Наблю

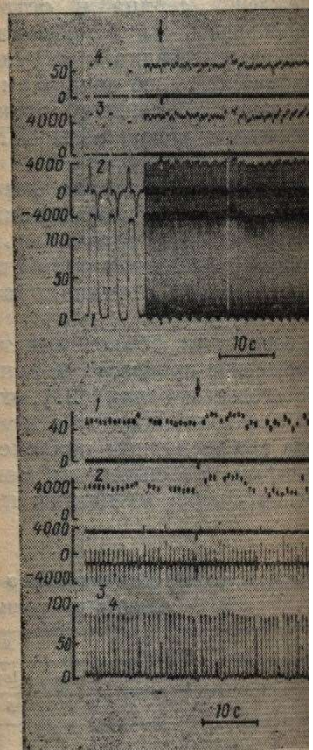


Рис. 3. Влияние внутрикоронарно одинарной и сократительной функции с имм

Начало инфузии иноцина указано стрелкой. 5 мин — постинфузионный период, 1 — изменения давления в левом желудочке, 2 — индекс максимального давления $dp/dt_{\max}/Pt$, 3 — индекс ЧСС, 4 — индекс

ленных форм суммы никотинамидных коферментов в левом желудочке, а также незначительные изменения в правом желудочке. Это свидетельствует о нормализации процессов в миокарде, но не на поддержание нормальной деятельности миокарда.

Таким образом, очаговидные изменения в миокарде, которые устанавливаются максимумом через 24 ч после инфузии иноцина, в этот же период появляются

ного повреждения сердца (перфузатов, богатых энергией были

компонентов адениловой системы, что в первые 5 мин после миокарда левого желудочка появляется некоторое снижение (табл. 2). Содержание никотинамидных коферментов — на 27,6 %, а также суммы окисленных и восстановленных форм этих коферментов — на 26,8 % (табл. 2).

В то же время в непораженном участке левого желудочка и в правом желудочке содержание компонентов адениловой системы существенно не изменяется. Наблюдается тенденция к увеличению восстанов-

Таблица 1
у собак после внутрикоронарного
свиротки ($M \pm m$)

показатель	После введения свиротки через	
	60 мин	24 ч
$\pm 13,0$, $0,01$	$107 \pm 9,0$ $<0,01$	$124 \pm 8,0$ $<0,01$
± 206 , $0,05$	1547 ± 202 $<0,02$	$3093 \pm 137,0$ $>0,05$
$\pm 2,10$, $0,05$	$8,57 \pm 0,996$ $<0,01$	$18,5 \pm 1,4$ $>0,05$
± 881 , $0,005$	7362 ± 383 $>0,05$	4415 ± 654 $<0,05$
$\pm 12,4$, $0,01$	$107,3 \pm 8,1$ $<0,01$	$136 \pm 7,4$ $>0,05$
$\pm 1,34$, $0,05$	$1,42 \pm 0,84$ $>0,05$	$9,1 \pm 1,3$ $>0,05$
± 313 , $0,05$	2923 ± 436 $<0,05$	3861 ± 394 $>0,05$
± 503 , $0,05$	2845 ± 705 $>0,05$	4617 ± 846 $>0,05$
$\pm 6,1$, $0,05$	$49,75 \pm 5,15$ $>0,05$	$46,3 \pm 4,2$ $>0,05$
± 441 , $0,05$	3748 ± 738 $>0,05$	4832 ± 1899 $>0,05$
$\pm 16,1$, $0,05$	$171 \pm 12,4$ $>0,05$	169 ± 18 $>0,05$

ка по сравнению с непораженным участком в первые 5 мин после введения свиротки. Суммы никотинамидных коферментов в левом и правом желудочках, а также незначительное увеличение содержания гликогена в правом желудочке. Это можно расценивать как усиление синтетических процессов в миокарде левого и правого желудочков, направленное на поддержание нормального количества компонентов адениловой системы, непосредственно участвующих в механизмах сократительной деятельности миокарда.

Таким образом, очаговое иммунное повреждение сердца сопровождается значительными зональными нарушениями энергетического обмена миокарда, которые усиливаются с течением времени и достигают максимума через 24 ч после нанесения иммунного повреждения сердца. В этот же период появляются и признаки застойной недостаточности

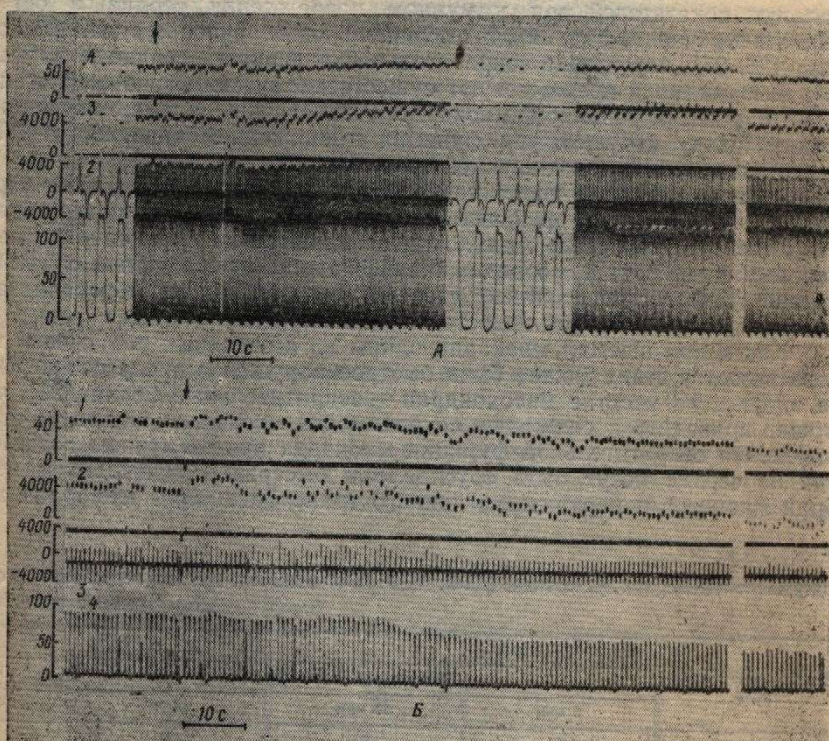


Рис. 3. Влияние внутрикоронарной инфузии инозина (50 мг/кг) на показатели кардиодинамики и сократительной функции миокарда у здорового животного (A) и у животного с иммунным повреждением сердца (B).

Начало инфузии инозина указано стрелками. В правых частях рисунков остановка миографа на 5 мин — постинфузионный период, 1 — давление в левом желудочке в мм рт. ст., 2 — скорость изменения давления в левом желудочке в мм рт. ст./с, 3 — модифицированный индекс сократимости $dp/dt_{\max}/It$, с-2, 4 — индекс сократимости $dp/dt_{\max}/pd$, с-1. Автоматизированный расчет индексов сократимости.

сердечной деятельности. Эти результаты подтверждаются данными морфологических и гистохимических исследований [18], свидетельствующих о постепенном прогрессировании процесса иммунного повреждения сердца после внутрикоронарного введения АКС.

При анализе полученных материалов обращают на себя внимание элементы сходства в динамике изменений биохимических и функциональных показателей при иммунном повреждении сердца и острой ишемии миокарда, вызванной окклюзией коронарного сосуда. По данным [26, 27], нарушение сократительной активности сердца и нарушение гемодинамики предшествуют существенному снижению содержания АТФ в ишемизированном миокарде. Аналогичные временные соотношения между нарушениями функции и снижением содержания АТФ прослеживаются и при иммунной травме сердца.

В первые минуты после нанесения иммунного повреждения нарушения сократительной функции миокарда как в участке повреждения [12], так и всего левого желудочка появляются на фоне сравнительно небольших изменений в содержании АТФ; лишь впоследствии снижение уровня АТФ достигает такой степени, которая может обуславливать развитие сократительной недостаточности сердца.

Как и при ишемии миокарда одним из возможных объяснений такого несоответствия может быть быстрое нарушение процессов переноса энергии на участке митохондрий — сократительные белки [21], что может приводить к снижению сократимости миокарда. Наряду с этим изменения сократительной функции миокарда при иммунном воздействии на сердце могут быть обусловлены быстрым повреждением мембран миоцитов и нарушением ионного транспорта через мембранны и в

Содержание адениловых нуклеотидов (АТФ, АДФ, АМФ в мкМоль/г ткани) неорганического фосфора (Φ_n) и гликогена (в мг %); пиридиновых (Ф_п) и гликогена (в мг %); пиридиновых иммунного повреждения миокарда ($M \pm m$)

Исследуемые показатели	Непораженный участок			Пораженный участок			5	
	Левый желудочек		5 мин	Правый желудочек		5 мин		
	5 мин	60 мин		24 ч				
Количество опытов	7	9	8	7	9	8		
% п.п.	1	2	3	4	5	6		
АТФ	3,84±0,38	3,48±0,16	3,55±0,27	3,48±0,22	2,2±0,15 $P_{2-5}<0,05$	1,92±0,55 $P_{3-6}<0,05$	3,1	
АДФ	1,35±0,28	1,75±0,15	1,83±0,24	1,36±0,27	1,03±0,12 $P_{2-5}<0,05$	0,87±0,19 $P_{3-6}<0,05$	1,4	
АМФ	0,77±0,16	0,62±0,10	0,78±0,07	0,74±0,22	0,40±0,06 $P_{2-5}<0,05$	0,44±0,11	0,7	
Сумма	6,12±0,50	5,85±0,45	6,16±0,45	5,33±0,48	3,63±0,22 $P_{2-5}<0,05$	3,23±0,78 $P_{3-6}<0,05$	5,3	
Φ_n	42,6±2,9	42,15±2,50	50,6±1,54	38,9±3,2	35,4±3,1	39,5±3,0	38,	
Гликоген	613,1±27,5	604,2±69,0	683,0±37,1	544,3±107,5	376,7±47,6 $P_{2-5}<0,05$	506,3±127,0	504,	
НАД+НАДФ	273,3±32,5	316,4±26,5	317,0±4,4	238,6±31,7	229,2±14,1	200,4±37,1	250,	
НАДН ₂ +НАДФН ₂	108,0±10,8	89,7±8,9	94,8±8,2	89,5±6,6	68,2±9,4	57,8±11,1	82,	
Сумма	377,3±35,2	406,1±27,3	411,8±10,9	337,1±32,4	297,4±19,3	258,2±47,7	333,	
НАД/НАДН ₂	2,70±0,42	3,6±0,3	3,44±0,28	2,40±0,30	3,5±0,35	3,43±0,37	3,	

Характеристика нарушений кардиодина

особенности ионов кальция о че появление (в первые 5 мин посл тяжелых изменений сократи рактуры и миоцитолиз. Данные помощью метода поляризационн

Одной из задач проводимы поиск возможных путей фарма гетического обмена в миокарде наблюдаемых при данной форме

Учитывая существенное уме леотидов при иммунных повреж дений был использован один зин, обладающий по мнению р через клеточную мембрану и ул дальной клетки и показатели к

Внутривенная инфузия ин приводила к некоторому увели карда (рис. 3, A); максимальначивалась в среднем на 17 %, 29 и 39 %.

Однако, в условиях иммун ный инотропный эффект инози блюдалось уменьшение показат дальнейшим снижением систем инозина усугубляла нарушения при кардиоцитотоксическом шок

тврждаются данными [18], свидетельствующими о иммунном повреждении АКС.

Задают на себя внимание химических и функций сердца и острой артериального сосуда. По данным сердца и нарушению снижению содержания временные соотношения содержания АТФ

о повреждения нарушениях участке повреждения на фоне сравнительно впоследствии снижение может обуславливать а.

можных объяснений тление процессов перенесенные белки [21], что миокарда. Наряду с этим при иммунном воздействии повреждением мембраны через мембранны и в

ль/г ткани) неорганического фосфора ткани) в различные сроки

особенности ионов кальция о чем, в частности, свидетельствует раннее появление (в первые 5 мин после иммунного повреждения сердца) таких тяжелых изменений сократительного аппарата миокарда как контрактуры и миоцитолиз. Данные о такого рода нарушениях получены с помощью метода поляризационной микроскопии (Л. Ф. Попович).

Одной из задач проводимых комплексных исследований являлся поиск возможных путей фармакологической коррекции сдвигов энергетического обмена в миокарде и нарушений кардио- и гемодинамики, наблюдавшихся при данной форме патологии сердца.

Учитывая существенное уменьшение содержания адениловых нуклеотидов при иммунных повреждениях сердца, для коррекции этих нарушений был использован один из продуктов метаболизма АТФ — инозин, обладающий по мнению ряда авторов, способностью проникать через клеточную мембрану и улучшать энергетический баланс миокардальной клетки и показатели кардиодинамики [11, 21].

Внутривенная инфузия инозина (50 мг/кг) здоровым животным приводила к некоторому увеличению сократительной активности миокарда (рис. 3, A); максимальная скорость повышения давления увеличивалась в среднем на 17 %, индексы сократимости миокарда — на 29 и 39 %.

Однако, в условиях иммунного повреждения сердца положительный инотропный эффект инозина не проявлялся, напротив, чаще наблюдалось уменьшение показателей сократимости миокарда наряду с дальнейшим снижением системного артериального давления. Инфузия инозина усугубляла нарушения кардио- и гемодинамики, возникающие при кардиоцитотоксическом шоке; этот эффект инозина выявлялся уже

Таблица 2
Ф_Н) и гликогена (в мг %); пиридиновых нуклеотидов (НАД, НАДФ, НАДФН₂ в мкг/г иммунного повреждения миокарда ($M \pm m$)

Пораженный участок	Левый желудочек			Правый желудочек		
	24 ч		5 мин	5 мин		60 мин
	24 ч	5 мин	60 мин	24 ч	5 мин	24 ч
3,55±0,27	3,48±0,22	2,2±0,15 $P_{2-5}<0,05$	1,92±0,55 $P_{3-6}<0,05$	3,15±0,28	2,98±0,30	3,65±0,42
1,83±0,24	1,36±0,27	1,03±0,12 $P_{2-5}<0,05$	0,87±0,19 $P_{3-6}<0,05$	1,40±0,28	1,30±0,13	1,80±0,21
0,78±0,07	0,74±0,22	0,40±0,06 $P_{2-5}<0,05$	0,44±0,11	0,76±0,19	0,53±0,11	0,71±0,11
6,16±0,45	5,33±0,48	3,63±0,22 $P_{2-5}<0,05$	3,23±0,78 $P_{3-6}<0,05$	5,32±0,64	4,80±0,50	6,16±0,49
50,6±1,54	38,9±3,2	35,4±3,1	39,5±3,0	38,8±3,9	38,3±1,9	48,0±2,44
683,0±37,1	544,3±107,5	376,7±47,6 $P_{2-5}<0,05$	506,3±127,0	504,6±38,4	711,9±88,9	761,0±62,0
317,0±4,4	238,6±31,7	229,2±14,1	200,4±37,1	250,4±52,1	302,1±19,7	330,8±9,7
94,8±8,2	89,5±6,6	68,2±9,4	57,8±11,1	82,9±7,8	80,9±10,0	87,5±6,6
411,8±10,9	337,1±32,4	297,4±19,3	258,2±47,7	333,3±51,6	383,0±28,0	418,3±10,6
3,44±0,28	2,40±0,30	3,5±0,35	3,43±0,37	3,1±0,7	3,97±0,50	3,88±0,23

в период инфузии вещества (рис. 3, Б) и был достаточно отчетливо выражен в течение первого часа развития иммунного повреждения сердца (рис. 4). Наряду с этим отмечено более интенсивное снижение показателей энергетического обмена в миокарде.

Уровень АТФ на 60 мин реакции у животных, получавших инозин, был значительно ниже как в «пораженном» (1,99 ммоль/г ткани), так и в «интактном» (2,35 ммоль/г) участках миокарда левого желудочка, а также в правом желудочке (2,45 ммоль/г), а различие в содержании адениловых нуклеотидов в «пораженных» и «интактных» участках бы-

ло значительно меньше, чем в других сериях экспериментов.

Таким образом, инфузия инозина не приводила к улучшению показателей кардиодинамики и энергетического обмена в миокарде в ранней стадии кардиоцитотоксического шока; по-

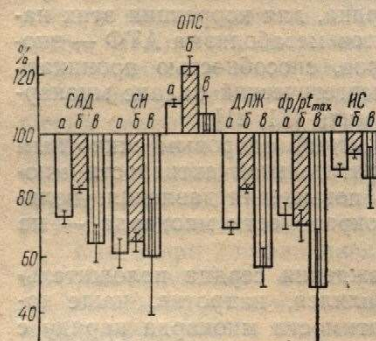


Рис. 4. Влияние инозина и фенкарола на изменения показателей кардиодинамики и гемодинамики при кардиоцитотоксическом шоке (в процентах к исходному уровню).

а — AKC, б — фенкарол+AKC, в — AKC+инозин.

видимому, использование этого препарата при гипотензиях кардиального генеза требует осторожности.

Учитывая возможное участие гистамина в патогенезе иммунных аллергических реакций, в VI серии опытов исследовали влияние нового антигистаминного препарата — фенкарола [9] на изменения кардиодинамики и энергетического обмена в миокарде при кардиоцитотоксическом шоке. Фенкарол вводили в дозе 0,5 мг/кг за 10—15 мин до введения AKC. Предварительное введение фенкарола хотя и не предотвращало развитие нарушений кардио- и гемодинамики при иммунной травме сердца, но в известной мере уменьшало их (рис. 4). Существенно меньше в VI серии экспериментов снижалось системное артериальное давление, давление в левом желудочке сердца, индекс сократимости миокарда ($dp/dt_{max}/pd$), тогда как OPSC повышалось в большей мере чем в основной серии экспериментов. Особенно выраженным были различия между изменениями показателей гемодинамики в V (после инозина) и VI (после фенкарола) сериях исследований (рис. 4).

Предварительное введение фенкарола также в значительной мере предотвращало снижение уровня адениловых нуклеотидов при цитотоксическом повреждении сердца. Если в основной серии экспериментов в пораженном участке миокарда содержание АТФ было ниже, чем в интактном на 37 % (на 60 мин реакции), то после фенкарола это различие составляло всего 16 % и было статистически недостоверно. Значительно меньше изменялись в те же сроки и такие показатели как общее количество адениловых нуклеотидов (—40,7 % в контроле и —9 % после фенкарола), содержание гликогена (—38 % в контроле и —6 % после фенкарола).

Таким образом, исходя из экспериментов с фенкаролом следует, что в патогенезе сдвигов обмена в сердечной мышце и кардиодинамики при цитотоксическом воздействии на сердце определенную роль могут играть биологически активные вещества типа гистамина. Это в извест-

Характеристика нарушений кардио-

ной мере согласуется с существенной роли гистамина, при анафилактических, точно выраженных изменениях повреждении сердца на фоне обуславливает необходиму природы нарушений кардио-

1. Алексеева Т. А., Медуницын, миокарда.— Вестник АМН СССР, 1966, № 1, с. 162—168.
2. Антоненко В. Т. Кардиоцитотоксического инфаркта миокарда.— В кн.: «Кардиоцитотоксический инфаркт миокарда», 1977, 264 с.
3. Антоненко В. Т. Патологическая наука думка, 1973, 13, № 11.
4. Виноградский О. В. Иммунологический синдром.— Кардиология, 1973, 13, № 11.
5. Гватту Н. А., Вайсман С. Г. Кардиология, 1973, 13, № 11.
6. Горев Н. Н., Повожиков М. Результаты экспериментальных цитотоксических исследований кардиоцитотоксического шока.— В кн.: «Кардиоцитотоксический шок», 1973, № 2, с. 11—18.
7. Гуревич М. И., Берштейн С. Метод регистрации основных параметров кардиоцистотоксического шока.— В кн.: «Кардиоцитотоксический шок», 1967, № 3, с. 350—354.
8. Кацман Р. Ф., Савенков П. И. Клиника инфаркта миокарда.— В кн.: «Кардиоцитотоксический шок», 1973, № 3, с. 34.
9. Калинка М. Э. Фенкарол—бинолов.— Фармакология, 1973, № 1.
10. Кечкер М. И., Данилова Т. Биологические и электрокардиографические исследования при кардиоцитотоксическом шоке.— В кн.: «Кардиоцитотоксический шок», 1976, № 7, с. 10.
11. Кипшидзе Н. Н., Коротков В. А., Мурманишвили Г. И. Опыт клинического применения гидрокортизона.— В кн.: «Кардиоцитотоксический шок», 1973, № 1.
12. Коркач В. И. Содержание гидрокортизона в миокарде после введения гидрокортизона.— В кн.: «Кардиоцитотоксический шок», 1973, № 1.
13. Мойбенко А. А., Повожиков М. Результаты экспериментальных исследований кардиоцитотоксического шока.— В кн.: «Кардиоцитотоксический шок», 1973, № 2, с. 151—152.
14. Мойбенко А. А., Сагач В. Б. Изменение кардиодинамики миокарда при иммунной травме сердца.— В кн.: «Кардиоцитотоксический шок», 1973, № 2, с. 153—154.
15. Мойбенко А. А., Коркач В. И., Буряков И. Е., Быченко И. А. Механизмы кардиоцитотоксического шока.— В кн.: «Кардиоцитотоксический шок», 1980, № 2, с. 151—152.
16. Сагач В. Б. О механизмах повреждения сердца.— В кн.: «Кардиоцитотоксический шок», 1973, № 2, с. 153—154.
17. Синьков М. В., Закидальская Ю. П., Гватту Н. А., Каган Ю. Ф., Телешев В. Е. Механизмы повреждения сердца в эксперименте и клиническом применении индекса.— В кн.: «Кардиоцитотоксический шок», 1973, № 2, с. 155—156.
18. Сиротина М. Ф., Попович В. А. Дело о миокарда у собак при гидрокортизоне.— В кн.: «Кардиоцитотоксический шок», 1973, № 2, с. 157—158.
19. Супоницкая Ф. М. О патологии иммунологии.— В кн.: «Кардиоцитотоксический шок», 1973, № 2, с. 159—160.
20. Чазов Е. И., Смирнов В. А., Быченко И. А., Ундрюниас А. Опыт применения гидрокортизона в лечении кардиоцитотоксического шока.— В кн.: «Кардиоцитотоксический шок», 1973, № 2, с. 161—162.
21. Чазов Е. И., Смирнов В. А., Быченко И. А., Ундрюниас А. Опыт применения гидрокортизона в лечении кардиоцитотоксического шока.— В кн.: «Кардиоцитотоксический шок», 1973, № 2, с. 163—164.

был достаточно отчетливо иммунного повреждения более интенсивное снижение рде. отных, получавших инозин, (1,99 ммол/г ткани), так миокарда левого желудочка, а различие в содержании «интактных» участках было меньше, чем в других ериментах.

образом, инфузия инозина та к улучшению показателей кардиодинамики и энергетического миокарда в ранней стадии цитотоксического шока; по-

не инозина и фенкарола на из-
ателей кардиодинамики и гемо-
кардиоцитотоксическом шоке
нтах к исходному уровню).

Фенкарол+АКС, в — АКС+инозин.

ри гипотензиях кардиаль-

в патогенезе иммунных исследовали влияние нового [9] на изменения кардиоре при кардиоцитотоксиг/кг за 10—15 мин до введения кардиоцитотоксина хотя и не предотвращали кардиодинамики при иммунной их (рис. 4). Существенно системное артериальное давление, индекс сократимости повышалось в большей степени выраженным быстрым гемодинамике в V (после исследований) (рис. 4).

же в значительной мере нуклеотидов при цитотоксической серии экспериментов АТФ было ниже, чем то после фенкарола это статистически недостоверно. И такие показатели как (—40,7 % в контроле и —38 % в контроле

в с фенкаролом следует, мышце и кардиодинамики определенную роль могут гистамина. Это в извест-

ной мере согласуется с данными других исследователей [24, 29] о существенной роли гистамина в развитии нарушений деятельности сердца, при анафилактических реакциях. Вместе с тем сохранение достаточно выраженных изменений гемодинамики при цитотоксическом повреждении сердца на фоне использования антигистаминных препаратов обуславливает необходимость дальнейших исследований по выяснению природы нарушений кровообращения при иммунных повреждениях сердца.

Л и т е р а т у р а

1. Алексеева Т. А., Медуницин Н. В. Аутоаллергия при экспериментальном инфаркте миокарда.— Вестник АМН СССР, 1967, № 2, с. 43—45.
2. Антоненко В. Т. Кардиоцитотоксины и моделирование ишемогенного аутоаллергического инфаркта миокарда.— В кн.: Цитотоксины в современной медицине, Т. 3, К., 1966, с. 162—168.
3. Антоненко В. Т. Патологическая физиология иммунных повреждений сердца. К: Наукова думка, 1977, 264 с.
4. Виноградский О. В. Иммунологические исследования при инфаркте миокарда и постинфарктном синдроме.— Кардиология, 1968, 8, № 8, с. 37—41.
5. Гватуа Н. А., Вайман С. Г. Иммунологические сдвиги при инфаркте миокарда.— Кардиология, 1973, 13, № 11, с. 140—148.
6. Горев Н. Н., Повожитков М. М., Король С. А., Сагач В. Ф., Зайченко А. П. Экспериментальные цитотоксические некрозы миокарда. Моделирование и гемодинамическая характеристика острого кардиоцитотоксического шока.— Кардиология, 1973, 13, № 2, с. 11—18.
7. Гуревич М. И., Берштейн С. А., Голов Д. А., Повожитков М. М. Термодилюционный метод регистрации основных параметров гемодинамики.— Физиол. журн. СССР, 1967, 53, № 3, с. 350—354.
8. Кацман Р. Ф., Савенков П. М. Иммуноглобулин и тканевые гормоны в патогенезе и клинике инфаркта миокарда.— В кн.: Труды 2-го Московского медицинского института. 1974, 34, серия «Терапия» в. 2, с. 37—50.
9. Калинка М. Э. Фенкарол — противогистаминный препарат из группы хинукидилкарбинонов.— Фармакол. токсикол. 1977, 15, № 2, с. 158—162.
10. Кечкер М. И., Данилова Т. А., Калашникова Т. А., Сотскова Т. В. Клинико-иммунологические и электрокардиографические параллели при инфаркте миокарда.— Кардиология, 1976, 16, № 7, с. 107—110.
11. Кипшидзе Н. Н., Коротков А. А., Чапидзе Г. Э., Марсагишвили Э. И., Тодуа Н. В., Мурмашвили Г. И. О показаниях к применению инозина при инфаркте миокарда (клинико-экспериментальное исследование).— Кардиология, 1978, № 3, с. 18—28.
12. Коркач В. И. Содержание свободных нуклеотидов в скелетных мышцах и сердце после введения гидрокортизона.— Бюл. эксперим. биологии и медицины. 1971, № 8, с. 44—46.
13. Мойбенко А. А., Повожитков М. М., Бутенко Г. М. Цитотоксические повреждения сердца и кардиогенный шок. К., 1977, 141 с.
14. Мойбенко А. А., Сагач В. Ф. Кардиодинамика и сократительная способность миокарда при иммунной травме сердца.— Физиол. журн., 1977, 23, № 2, с. 182—190.
15. Мойбенко А. А., Коркач В. И., Сагач В. Ф., Французова С. Б., Грабовский Л. А., Буряков И. Е., Быченко И. Г. Энергетический обмен и сократительная активность миокарда при кардиоцитотоксическом повреждении.— Бюл. эксперим. биологии и медицины, 1980, № 2, с. 151—153.
16. Сагач В. Ф. О механизмах депонирования крови у собак при цитотоксическом повреждении сердца.— Бюл. эксперим. биологии и медицины. 1979, № 6, с. 533—536.
17. Сиников М. В., Закидальский А. И., Мойбенко А. А., Грабовский Л. А., Бидзина Ю. П., Гватуа Н. А., Кравцов В. Л., Орлова Н. Н., Строганова Н. П., Малмыгин Ю. Ф., Телешев В. Е. Автоматизированная оценка показателей сократимости миокарда в эксперименте и клинике с помощью специализированного вычислительного устройства «Индекс».— Бюл. ВКНЦ, 1978, № 2, с. 101—115.
18. Сиротина М. Ф., Попович Л. Ф. Морфологическая оценка состояния различных отделов миокарда у собак после внутрикоронарного введения антикардиальной сыворотки.— Физиол. журн., 1976, 22, № 4, с. 522—530.
19. Супоницкая Ф. М. О патогенетическом значении цитотоксины в неинфекциональной иммунологии.— В кн.: Цитотоксины в современной медицине. К., 1967, т. 4, с. 169—175.
20. Чазов Е. И., Смирнов В. Н., Алиев М. Н., Сакс В. А., Розенштраух Л. В., Левицкий Д. О., Ундрюинас А. И. Молекулярные механизмы сердечной недостаточности при ишемии миокарда.— Кардиология, 1976, 16, № 4, с. 5—13.

- V
22. Юренев П. Н., Семенович Н. И. Клиника и терапия аллергических поражений сердца и сосудов. М: Медицина. 1972. 251 с.
 23. Aaronson D., Patterson R., Wennmark J., Lev M. Biologic effects of heterologous antisera to canine heart. — Int. Arch. Allergy, 1969, 36, N 6, p. 523—529.
 24. Capurro N., Levi R. The heart as a target organ in systemic allergic reactions. Comparison of cardiac anaphylaxis in vivo and in vitro. — Circulat. Res., 1975, 36, N 4, p. 520—528.
 25. Dornbusch S. The value of the gel-precipitation method for the study of autoimmunological problems. — Intern. Arch. Allergy and Appl. Immunol., 1957, 2, 3, 206.
 26. Gudbjarnason S. Reparative processes following acute coronary occlusion. — In: Effect of acute ischemia on myocardial function. London, 1972, p. 75—96.
 27. Jones C. E., Thomas J. K., Parker J. C., Parker R. E. Acute changes in high energy phosphates nucleotide derivatives and contractile force in ischemic and nonischemic canine myocardium following coronary occlusion. — Cardiovasc. Res., 1976, 10, N 3, p. 275—282.
 28. Lessof M. Immunological reactions in heart disease. — Brit. Heart J., 1978, 40, p. 211—214.
 29. Levi R. Effects of exogenous and immunologically released histamine on the isolated heart. A quantitative comparison. — J. Pharmacol. Exp. Ther., 1972, 182, 227—238.
 30. Nicholson G. C. et al. A classification of anti-heart anti-bodies: differentiation between heart specific and heterophile antibodies. — Clin. Immunol. and Immunopath., 1977, N 7, p. 349—363.
 31. Noborn J. Cytotoxicity assay against cultured heart cell in rheumatic heart disease. — Jap. Circul. J., 1978, 42, p. 887—892.

Институт физиологии
им. А. А. Богомольца АН УССР, Киев;
Киевский медицинский институт

Поступила в редакцию
4.VI 1980 г.

A. A. Moibenko, V. F. Sagach, G. I. Marchenko,
L. A. Grabovskiy, V. I. Korkach, S. B. Frantsuzova,
I. G. Bychenko, O. V. Shablovskaya

CHARACTERISTIC OF DISTURBANCES IN CARDIODYNAMICS
AND ENERGY PROCESSES IN MYOCARDIUM WITH INFARCTION-LIKE
HEART AFFECTIONS OF IMMUNE GENESIS

Summary

The data presented show that the antigen-antibody reaction results in development in a limited area of the coronary vascular bed of a zonal myocardium affections with disturbances in cardiodynamics and energy metabolism in the myocardium which should be considered as infarction-like affections. These disturbances progress for 24 hours. Antihistamine preparations weaken cardiodynamics and metabolism disturbances in the myocardium, which testifies to participation of biologically active substances of the histamine type in development of the heart function disturbances of immune genesis.

A. A. Bogomoletz Institute of Physiology,
Academy of Sciences, Ukrainian SSR, Kiev;
Academician A. A. Bogomoletz Medical Institute, Kiev

УДК 612.821.3

В. В. С

НЕКОТОРЫЕ
ХАРАКТЕРИСТИКИ
ПРИ КРАТКОВРЕМЕННОСТИ

В свое время было показано, что деятельность при эмоциях, частоты сердечных сокращений, физиологической тахикардии [2] кардиоритма, т. е. его при физической или тепловом воздействии, Такое сочетание сдвиговным показателем состояния организма в работах [5] оценка вариации так называемом оператором человеком дефицита времени и непрерывного напряжения наблюдается о физиологической аритмии, способности сердечного ритма более при одномоментных, в основном проводимых, синхронизируемых единичные исследования сложных видов высшей сложной ситуации, напри-

Мы изучали изменения деятельности сердца при наивном подъемом (типа стимуляции) (оператора), т. е. проблемными ситуациями ского типа, где особенно дирования какой-либо коммуникации.

У 28 испытуемых в возрасте 50—55 лет непрерывно в II отведении, во время выполнения заданий, которые водили специфические деятельности человека, ния в условиях острого недополнительной информации (ситуации). Каждое зада-